

Elektronska (UV-Vis) spektroskopija

Elektronska spektroskopija

UV-VIS spektroskopija (spektrofotometrija).

Prve razvijene metode u molekulskoj spektroskopiji.

Do apsorpcije elektromagnetskog zračenja dolazi uslijed interakcije vidljivog i ultraljubičastog zračenja s tvari.

Apsorpcija fotona rezultira prijelazom elektrona iz molekulske orbitale niže energije u molekulsu orbitalu više energije.

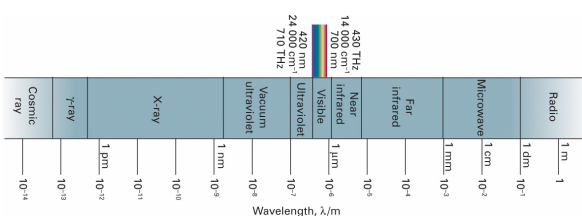
Molekula prelazi iz temeljnog u pobudeno (energetski više) elektronsko stanje.

Spektar elektromagnetskog zračenja

Uobičajena podjela spektra elektromagnetskog zračenja i odgovarajuća područja spektroskopije:

UV: $\lambda_{UV} = 200 - 400 \text{ nm}$

VIS: $\lambda_{VIS} = 400 - 800 \text{ nm}$



Elektronska spektroskopija

Elektromagnetsko zračenje valne duljine u rasponu od 200 - 800 nm može potaknuti prijelaze elektrona vanjskih ljudskih ljuški:

- Kod atoma su to elektroni u valentnim orbitalama.

- Kod molekula su to elektroni u veznim orbitalama.

Energija molekule u različitim elektronskim stanjima ne može se opisati jednostavnim modelima.

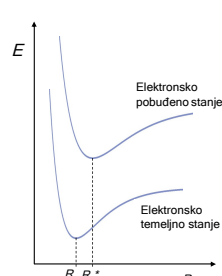
Razmatramo kvalitativne aspekte elektronskih prijelaza.

Elektronski prijelazi

Apsorpcija elektromagnetskog zračenja UV i VIS područja dovodi do promjene raspodjele elektronske gustoće unutar molekule.

Energie veze molekule u pobuđenom i temeljnem stanju su različite.

Međatomske udaljenosti i konstante jakosti veze za molekule u pobuđenom i temelnjem stanju su također različite.



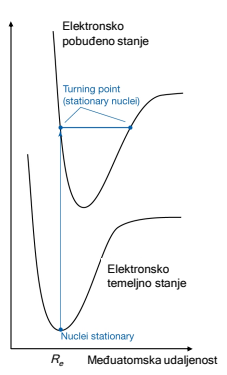
Franck-Condonov princip

Apsorpcija elektromagnetskog zračenja i elektronski prijelaz iz temeljnog u pobuđeno elektronsko stanje molekule odvija se u vremenu od $10^{-15} - 10^{-16} \text{ s}$.

Gibanje (vibracije) jezgri odvija se brzinom 10^{-13} s . Jezgre atoma u molekuli ne mogu odmah reagirati na ovu redistribuciju elektronske gustoće.

Kako su jezgre znatno masivnije (inertnije) od elektrona, elektronski prijelaz je puno brži od reakcije jezgri.

Elektronski prijelaz odvija se pri nepromijenjenim koordinatama atoma unutar molekule (vertikalni prijelaz).

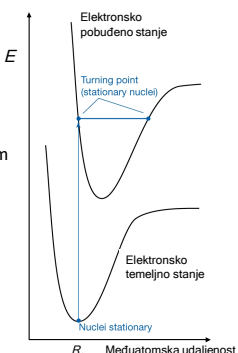


Franck-Condonov princip

Nakon apsorpcije zračenja i elektronskog prijelaza dolazi do preraspodjele elektronske gustoće unutar molekula.

Ježgre atoma u molekulama sada se nalaze u drugačijem polju sile i počinju zauzimati stanja koja odgovaraju ovom promjenjenom polju.

Atomi u molekulama počinju vibrirati i takođe, dolazi do promjena u međatomskim udaljenostima unutar molekula.

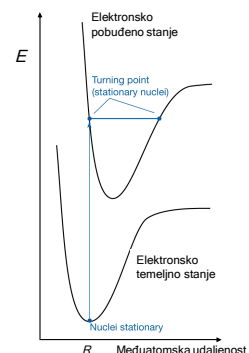


Franck-Condonov princip

U skladu s Franck-Condonovim principom najintenzivniji elektronski prijelaz biti će iz temeljnog vibracijskog stanja u pobudeno vibracijsko stanje koje je točno iznad temeljnog stanja.

Prijelazi u druga vibracijska stanja su mogući i manje vjerovatni (intenzivni).

Elektronski prijelazi povezani su s vibracijskim prijelazima. Vibronski prijelazi su elektronski prijelazi omogućeni određenim vibracijama molekule.



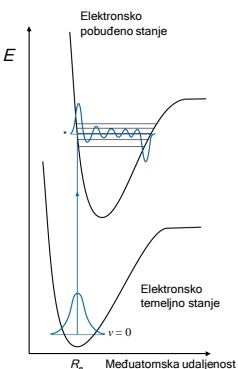
Franck-Condonov princip

Prije apsorpcije zračenja i elektronskog prijelaza molekula se nalazi u temeljnog elektronskom stanju i najnižem vibracijskom stanju ($v = 0$).

U skladu s kvantnom mehanikom, najvjerojatniji međatomski razmak u temeljnog stanju je oko maksimuma valne funkcije.

Apsorpcijom zračenja biti će potaknut onaj prijelaz koji vodi u elektronsko i vibracijsko pobudeno stanje koje je najsličnije temeljnog stanju.

Najvjerojatniji (najintenzivniji) je prijelaz za koji je integral preklapanja valnih funkcija najveći.



Franck-Condonov princip

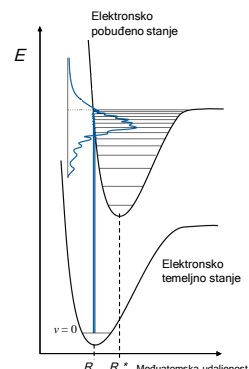
Najvjerojatniji (najintenzivniji) prijelaz nije jedini dostupni i mogući prijelaz.

Okolna vibracijska stanja pobudjenog elektronskog stanja takođe imaju značajno preklapanje valnih funkcija i od tuda određenu vjerovatnost za prijelaz.

Vjerovatnosti za prijelaz u okolna vibracijska stanja su manje, pa je njihov intenzitet apsorpcije manji.

Posljedica je širenje apsorpcijske vrpce.

Izmjereni UV-VIS spektri pokazuju široke apsorpcijske vrpce.



Izborna pravila za elektronski prijelaz

Spinsko izborni pravilo:

Prijelazi su *dovoljeni* (vjerojatni) ako ne dolazi do promjene spina elektrona.

Laporteovo izborni pravilo:

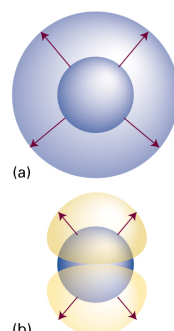
Prijelazi su *dovoljeni* (vjerojatni) ako dolazi do promjene pariteta molekulske orbitale pobuđenih elektrona.

Paritet molekulske orbitale povezan je sa simetrijom orbitale i pokazuje svojstva simetrije orbitale nakon inverzije.

Izborna pravila za elektronski prijelaz

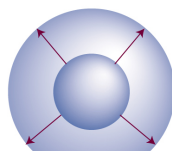
Prijelazi su *dovoljeni* (vjerojatni) kada su simetrije molekulske orbitale temeljnog i pobudjenog elektronskog stanja različite.

Asimetrične vibracije kod kojih dolazi do gubitka centra simetrije povećavaju vjerovatnost *zabranjenih* prijelaza, ovačke prijelaze nazivamo VIBRONSKI DOZVOLJENI PRIJELAZI.

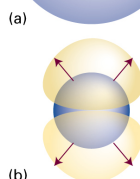


Prijelazni električni dipol

Kada $1s$ elektron postaje $2s$ elektron (a), naboј migrira sferično, nema el. dipola koji se može povezati s ovim prijelazom.



Kada $1s$ elektron postaje $2p$ elektron (b), tјekom prijelaza pojavljuje se el. dipol. Što je veći prijelazni dipolarni moment μ_p , veći je B i uzorak će više apsorbirati (ε i A biti će veći). Einsteinov koeficijent stimulirane apsorpcije B povezan je s prijelaznim dipolarnim momentom μ_p .



Intenzitet apsorpcije

Intenzitet apsorpcije razmjeran je vjerojatnosti prijelaza, odnosno kvadratu iznosa prijelaznog dipolnog momenta - Franck-Condonov faktor za elektronski prijelaz.

Franck-Condonov faktor je veći što je veće prekrivanje vibracijske valne funkcije temeljnog i pobudjenog elektronskog stanja.

Izmjereni intenzitet apsorpcije razmjeran je broju molekula koje u određenom vremenu apsorbiraju zračenje i promijene elektronsko stanje.

Što je veća vjerojatnost prijelaza to je broj molekula koje apsorbiraju zračenje u jedinici vremena veći.

Intenzitet apsorpcije

Molarni koeficijent apsorpcije ε je eksperimentalno određiva veličina koja je povezana s vjerojatnošću elektronskog prijelaza.

Što je veći ε vjerojatnost prijelaza je veća.

• Apsorpcijske vrpce s ε većim od otprilike $1000 \text{ dm}^3 \text{ mol}^{-1} \text{ cm}^{-1}$ pripisuјemo *dovoljenim* (vjerojatnim) elektronskim prijelazima.

• Apsorpcijske vrpce s ε manjim od $1000 \text{ dm}^3 \text{ mol}^{-1} \text{ cm}^{-1}$ pripisuјemo *zabranjenim* (vrlo malo vjerojatnim) elektronskim prijelazima.

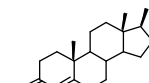
Elektronski spektri molekula

UV-VIS apsorpcijski spektar složene molekule može se dovesti u vezu s apsorpcijskim svojstvima nekih funkcionalnih skupina prisutnih u molekuli.

Skupine s karakterističnom optičkom apsorpcijom na određenim valnim duljinama s vrlo malim utjecajem ostalih skupina u molekuli nazivamo KROMOFORI. (npr. konjugirane C=C, C=O, itd.).



$\lambda_{\max} = 238, 305 \text{ nm}$



$\lambda_{\max} = 240, 311 \text{ nm}$

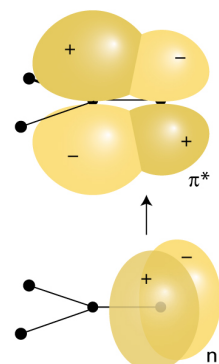


$\lambda_{\max} = 173, 192 \text{ nm}$

Elektronski spektri molekula

Npr. molekule koje imaju karbonilnu skupinu (C=O) pokazuju apsorpcijsku vrpcu s maksimumom oko 290 nm .

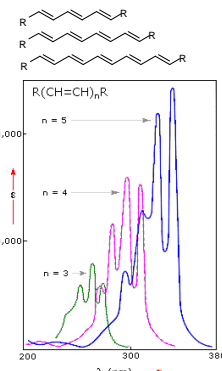
Točan položaj apsorpcijskog maksimuma ovisi o ostatku molekule.



Elektronski spektri molekula

Ako su dva ili više kromofora konjugirani unutar molekule doći će do značajne promjene u apsorpcijskim svojstvima tih kromofora.

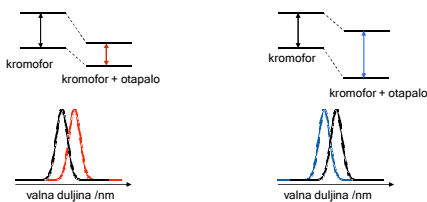
AUKSOKROMI sami ne apsorbiraju ali znatno mijenjaju apsorpcijska svojstva kromofora (npr. -OH, -NH₂).



Elektronski spektri molekula

Interakcija s otapalom može dovesti do stabilizacije ili destabilizacije pobudenog elektronskog stanja u odnosu na temeljno stanje kromofora.

Stabilizacija ili destabilizacija ovisi o kromoforu, otapalu i vrsti elektronskog prijelaza.



Elektronski spektri molekula

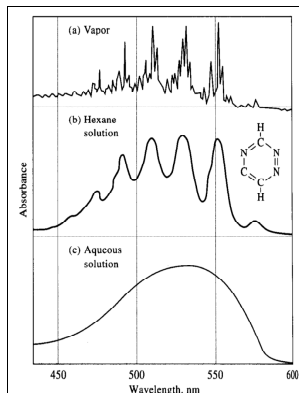
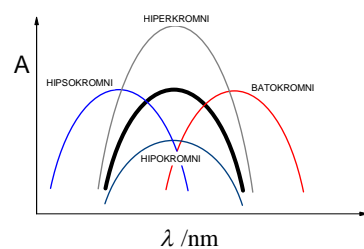
Konjugacija unutar molekule, otapalo i interakcije molekule i otapala (npr. vodikove veze, asocijacije) utječu na apsorpcijski spektar kromofora:

•**Hipsokromni pomak** - pomak apsorpcijskog maksimuma prema manjim valnim duljinama.

•**Batokromni pomak** - pomak apsorpcijskog maksimuma prema većim valnim duljinama.

•**Hipokromni pomak** - smanjenje ϵ .

•**Hiperkromni pomak** - povećanje ϵ .

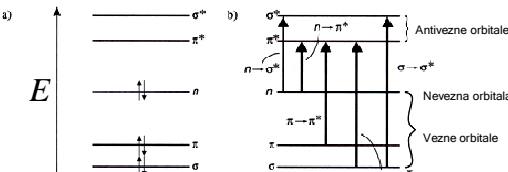


Elektronski prijelazi u molekulji

Učestali elektronski prijelazi u organskim kovalentnim spojevima:

$\sigma \rightarrow \sigma^*$, $n \rightarrow \sigma^*$, $n \rightarrow \pi^*$, $\pi \rightarrow \pi^*$.

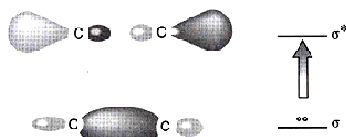
Metalni kompleksi: $d \rightarrow d$ (prijelazi prijenosa naboja).



Elektronski prijelazi u molekulji

$\sigma \rightarrow \sigma^*$ elektronski prijelazi u molekulama s jednostrukim vezama i bez slobodnih elektronskih parova, npr. alkani.

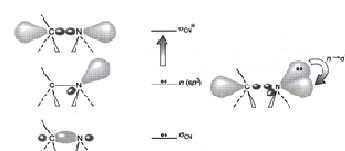
- Vrlo velika energija prijelaza.
- Apsorpcija u dalekom UV području (<180 nm).



Elektronski prijelazi u molekulji

$n \rightarrow \sigma^*$ elektronski prijelazi u molekulama s jednostrukim vezama i neveznim slobodnim elektronskim parovima na heteroatomu, npr. alkoholi, amini, tioli, sulfidi.

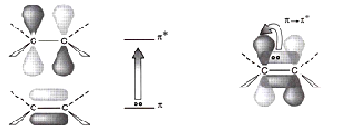
- Velika energija prijelaza.
- Apsorpcija u UV području (190 - 230 nm).



Elektronski prijelazi u molekuli

$\pi \rightarrow \pi^*$ elektronski prijelazi u molekulama s višestrukim ili aromatskim vezama i supstituentima.

- Apsorpcija u UV i VIS području (170 - 400 nm).
- Molarni koeficijent apsorpcije $\epsilon = 1000 - 10000 \text{ dm}^3 \text{ mol}^{-1} \text{ cm}^{-1}$.



Elektronski prijelazi u molekuli

$\Pi \rightarrow \Pi^*$ elektronski prijelazi u molekulama s višestrukim ili aromatskim vezama i slobodnim elektronskim parovima.

- Apsorpcija u UV području (170 - 400 nm).
- Molarni koeficijent apsorpcije $\epsilon = 1 - 10 \text{ dm}^3 \text{ mol}^{-1} \text{ cm}^{-1}$.

Chromophore	Example	Solvent	$\lambda_{\max}(\text{nm})$	ϵ_{\max}	Type of Transition
Alkene	$\text{C}_2\text{H}_5\text{CH}=\text{CH}_2$	n-Heptane	177	13,000	$\pi \rightarrow \pi^*$
Alkyne	$\text{C}_2\text{H}_3\text{C} \equiv \text{C}=\text{CH}_3$	n-Hepane	178	10,000	$\pi \rightarrow \pi^*$
			196	2,000	—
			225	160	—
Carbonyl	$\text{CH}_3\text{C}(=\text{O})\text{CH}_3$	n-Hexane	186	1,000	$\pi \rightarrow \pi^*$
			280	16	$\pi \rightarrow \pi^*$
	$\text{CH}_3\text{C}(=\text{O})\text{CH}_3$	n-Hexane	180	large	$\pi \rightarrow \pi^*$
			293	12	$\pi \rightarrow \pi^*$
Carboxyl	CH_3COOH	Ethanol	204	41	$\pi \rightarrow \pi^*$
Amido	CH_3CNH_2	Water	214	60	$\pi \rightarrow \pi^*$
Azo	$\text{CH}_3\text{N}=\text{NCH}_3$	Ethanol	339	5	$\pi \rightarrow \pi^*$
Nitro	CH_3NO_2	Isooctane	280	22	$\pi \rightarrow \pi^*$
Nitroso	$\text{C}_2\text{H}_5\text{NO}$	Ethyl ether	300	100	—
			665	20	$\pi \rightarrow \pi^*$
Nitrate	$\text{C}_2\text{H}_5\text{ONO}_2$	Dioxane	270	12	$\pi \rightarrow \pi^*$

Electronic Absorber Data for Isolated Chromophores*					
Chromophore	Example	Solvent	$\lambda_{\max}(\text{nm})$	ϵ (liter mol ⁻¹ cm ⁻¹)	
$\text{C}\equiv\text{C}-$	1-Butyne	Heptane	180	12,500	
$\text{C}\equiv\text{C}-$	1-Butyne	Benzene	172	4,500	
		Water	224	350	
			273	7,600	
$\text{C}\equiv\text{O}$	Toluene	Water	261	223	
			293	7,000	
			298	7,000	
Acetylenide		Water	298	7,000	
		Vapor	189	11,5	
			273	1,000	
Aldehydes		Cyclohexane	190	1,000	
			227	1,000	
Cyano		Heptane	229	11	
		Ethanol	204	41	
		Heptane	240	34	
		Water	264	63	
$\text{C}\equiv\text{O}\text{NH}_2$	Acetamide	Water	205	103	
		Heptane	279	15,8	
$\text{N}=\text{N}_2$	Nitrobenzene	Heptane	202	4,400	
			202	7	
$\text{N}=\text{N}=\text{N}$	Diazoethane	Diethyl ether	417	7	
		Water	342	25	
	$\text{C}_6\text{H}_5\text{CH}=\text{NCH}_3$	Isopropanol	238	200	

* From J.B. Lambert, H.F. Sherrill, L. Herlihy, P.O. Zwick, and D.H. Stiehl, *Organic Structural Analysis*, Macmillan Publishing New York, 1975.

Chromophores often have more than one absorption band.

Elektronski prijelazi u molekuli

$d \rightarrow d$ elektronski prijelazi u metalnim kompleksima:

d orbitale metala pod utjecajem ligandnog polja koordiniranog liganda prestaju biti degenerirane, odnosno više nemaju istu energiju.

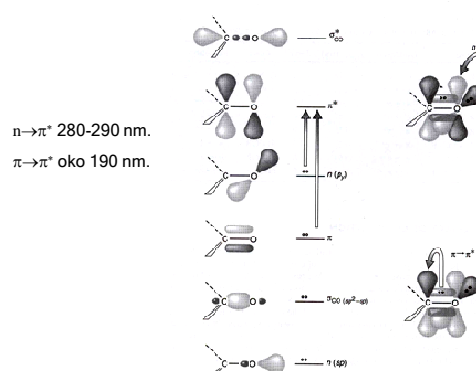
Tako postaju mogući elektronski prijelazi između d orbitala metalnog iona.

Također može doći i do prijenosa elektrona s liganda na metalni ion ili obratno.

• Apsorpcija u UV i VIS području (200 - 800 nm).

• Molarni koeficijent apsorpcije $\epsilon = >20000 \text{ dm}^3 \text{ mol}^{-1} \text{ cm}^{-1}$.

Molekulske orbitale i elektronski prijelazi C=O skupine:



UV-VIS spektri

